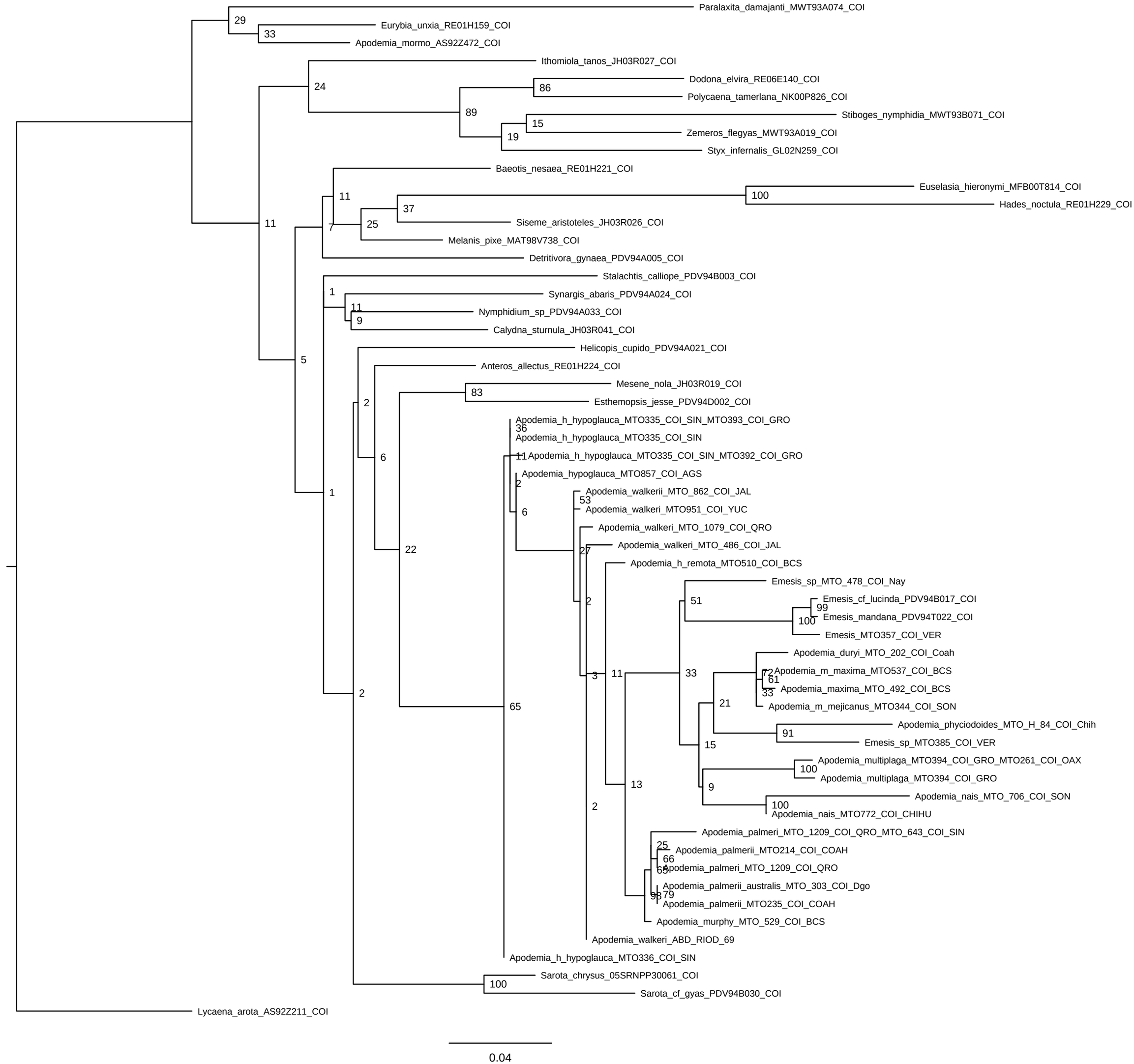
Paralaxita_damajanti_MWT93A074_COI
Eurybia_unxia_RE01H159_COI
Apodemia_mormo_AS92Z472_COI
Ithomiola_tanos_JH03R027_COI
Dodona_elvira_RE06E140_COI
Polycaena_tamerlana_NK00P826_COI
Stiboges_nymphidia_MWT93B071_COI
Zemeros_flegyas_MWT93A019_COI
Styx_infernalis_GL02N259_COI
Baeotis_nesaea_RE01H221_COI
Euselasia_hieronymi_MFB00T814_COI
Hades_noctula_RE01H229_COI
Siseme_aristoteles_JH03R026_COI
Melanis_pixe_MAT98V738_COI
Detritivora_gynaea_PDV94A005_COI
Stalachtis_calliope_PDV94B003_COI
Synargis_abaris_PDV94A024_COI
Nymphidium_sp_PDV94A033_COI
Calydna_sturnula_JH03R041_COI
Helicopis_cupido_PDV94A021_COI
Anteros_allectus_RE01H224_COI
Mesene_nola_JH03R019_COI
Esthemopsis_jesse_PDV94D002_COI
Apodemia_h_hypoglauca_MTO335_COI_SIN_MTO393_COI_GRO
Apodemia_h_hypoglauca_MTO335_COI_SIN
Apodemia_h_hypoglauca_MTO335_COI_SIN_MTO392_COI_GRO
Apodemia_hypoglauca_MTO857_COI_AGS
Apodemia_walkerii_MTO_862_COI_JAL
Apodemia_walkeri_MTO951_COI_YUC
Apodemia_walkeri_MTO_1079_COI_QRO
Apodemia_walkeri_MTO_486_COI_JAL
Apodemia_h_remota_MTO510_COI_BCS
Emesis_sp_MTO_478_COI_Nay
Emesis_cf_lucinda_PDV94B017_COI
Emesis_mandana_PDV94T022_COI
Emesis_MTO357_COI_VER
Apodemia_duryi_MTO_202_COI_Coah
Apodemia_m_maxima_MTO537_COI_BCS
Apodemia_maxima_MTO_492_COI_BCS
Apodemia_m_mejicanus_MTO344_COI_SON
Apodemia_phyciodoides_MTO_H_84_COI_Chih
Emesis_sp_MTO385_COI_VER
Apodemia_multiplaga_MTO394_COI_GRO_MTO261_COI_OAX
Apodemia_multiplaga_MTO394_COI_GRO
Apodemia_nais_MTO_706_COI_SON
Apodemia_nais_MTO772_COI_CHIHU
Apodemia_palmeri_MTO_1209_COI_QRO_MTO_643_COI_SIN
Apodemia_palmerii_MTO214_COI_COAH
Apodemia_palmeri_MTO_1209_COI_QRO
Apodemia_palmerii_australis_MTO_303_COI_Dgo
Apodemia_palmerii_MTO235_COI_COAH
Apodemia_murphy_MTO_529_COI_BCS
Apodemia_walkeri_ABD_RIOD_69
Apodemia_h_hypoglauca_MTO336_COI_SIN
Sarota_chrysus_05SRNPP30061_COI
Sarota_cf_gyas_PDV94B030_COI
Lycaena_arota_AS92Z211_COI
0.04